

УДК 548.3:544.225

ЭЛЕКТРОННАЯ СТРУКТУРА И ХИМИЧЕСКАЯ СВЯЗЬ В КРИСТАЛЛАХ KN_3 И KSCN

Н.Г. Кравченко, А.С. Поплавной

Кемеровский государственный университет, Россия
E-mail: kravchenko@kemsu.ru

Статья поступила 3 марта 2015 г.

Из первых принципов с использованием метода функционала плотности вычислены параметры кристаллической структуры, зонные спектры, карты распределения полной и парциальной электронной плотностей KN_3 и KSCN , проанализированы общие свойства и отличия в зонных спектрах. Группировки валентных подзон качественно подобны; в верхней валентной зоне KN_3 имеется слабая гибридизация *p*-составляющей комплексного аниона и металла, в KSCN этого не наблюдается; кристаллы KSCN прямозонные, KN_3 — непрямозонные. Из распределения карт электронной плотности установлено существование слабого ковалентного связывания комплексных анионов с металлом в обоих кристаллах, а также между атомами металла в KSCN , которое отсутствует в KN_3 .

DOI: 10.15372/JSC20150601

Ключевые слова: азид калия, тиоцианат калия, зонные спектры, функционал плотности.

ВВЕДЕНИЕ

Кристаллы, содержащие сферический металлический катион и линейный трехатомный анион — азиды (MN_3), изоцианаты (MOCN), фульминаты (MCNO), тиоцианаты (MSCN) — относятся к классу простейших ионно-молекулярных кристаллов. Многие из них имеют схожие кристаллические структуры и вместе с тем проявляют совершенно различные физико-химические свойства. Так, азид калия наряду с фульминатом калия относится к энергетическим материалам. Азид калия подвержен различным видам медленного разложения, фульминат калия при нагревании взрывается, в то время как изоцианат и тиоцианат калия подобными свойствами не обладают.

Азиды металлов, имеющие симметричный анион, исследованы достаточно хорошо как теоретическими, так и экспериментальными методами. В частности, в [1] рентгеновскими дифракционными методами определено распределение электронной плотности в KN_3 ; в [2] вычислена электронная энергетическая структура, а в [3] — структурные и оптические параметры ряда металлических азидов на основе различных вариантов метода функционала плотности. Структурные, упругие, колебательные и термодинамические свойства KN_3 и RbN_3 детально изучены в [4] с применением первопринципной теории функционала плотности. В то время как для фульмината калия не удалось найти детальной информации ни по кристаллической структуре, ни по электронному строению, фульминат серебра хорошо изучен, выяснено, что он встречается в двух полиморфных формах — орторомбической и тригональной [5]. AgCNO синтезирован достаточно давно (1798) и исследовался главным образом как детонатор. Еще Гей-Люссак обратил внимание на то, что фульминат серебра имеет тот же состав, что и изоцианат, и это, по-видимому, было одним из первых примеров проявления изомерии (ссылки на

ранние работы можно найти, например, в [5]. В [5] обсуждался также вопрос об изомерии на основе моделей связи $O=C=N$ для изоионата и $C\equiv N^+—O^-$ для фульмината. В [6] качественно анализируется электронное строение ряда неорганических фульминатов с целью анализа их стабильности, представлены и анализируются инфракрасные спектры. В целом в ранних работах [6, 7] по фульминатам в основном исследовались их детонационные свойства, чувствительность к инициированию и эти свойства сопоставлялись с азидами тяжелых металлов. В более поздних исследованиях, посвященных этому классу соединений [8—11], уточнялось их кристаллическое строение, анализировались фазовые переходы, инфракрасные спектры, традиционно велось сопоставление параметров и свойств изоструктурных соединений, включая азиды металлов.

Тиоцианат калия является наиболее изученным из всех тиоцианатов, известен в двух фазах — тетрагональной и орторомбической. С целью детального исследования механизма фазового перехода порядок—беспорядок в работе [11] изучена температурная зависимость структурных изменений и движений атомов в широком диапазоне температур для обеих фаз. В работе приведены параметры кристаллической решетки для широкого интервала температур, а также координаты атомов. Для тетрагональной фазы обнаружены ангармонические колебания атомов калия вблизи своих равновесных позиций. Показано, что спонтанные смещения K^+ коррелируют со смещениями $(SCN)^-$ типа вращений. В [12] измерены упругие постоянные KSCN и проведено их сравнение с имеющимися для CsSCN. Измерены постоянные решетки a , b , c в зависимости от температуры, с использованием неупругого нейтронного рассеяния получены фононные спектры. Акустические частоты измерялись вплоть до температуры 125 °C (что всего на 15° ниже температуры фазового перехода), было получено их постепенное плавное изменение, в то время как оптические фононы при этом испытывали скачкообразные флуктуации.

До настоящего времени отсутствуют теоретические исследования электронного строения и химической связи ионно-молекулярных кристаллов с линейным асимметричным анионом. В представленной работе на основе метода функционала плотности выполнены первопринципные вычисления зонной структуры, полных и деформационных электронных плотностей для орторомбической фазы кристаллов тиоцианата калия. Результаты обсуждаются и сопоставляются с вычисленными и имеющимися для KN_3 .

КРИСТАЛЛИЧЕСКАЯ СТРУКТУРА KN_3 И KSCN

Модели кристаллической структуры KN_3 и KSCN представлены на рис. 1, параметры кристаллических решеток приведены в таблице. Азиды K, Rb, Cs кристаллизуются в слегка деформированную структуру типа $CsCl$ [1], пространственная группа D_{4h}^{18} (№ 140, $I4/mcm$) с двумя молекулами в элементарной ячейке ($Z = 2$). Катионы и молекулярные анионы распределены в параллельных слоях квадратной решетки. Тиоцианат калия испытывает фазовый переход при $T = 413$ К от орторомбической фазы с пространственной группой D_{2h}^{11} (№ 57, $Pbcm$, $Z = 4$) к объемно-центрированной тетрагональной структуре, пространственная группа D_{4h}^{18} (№ 140,

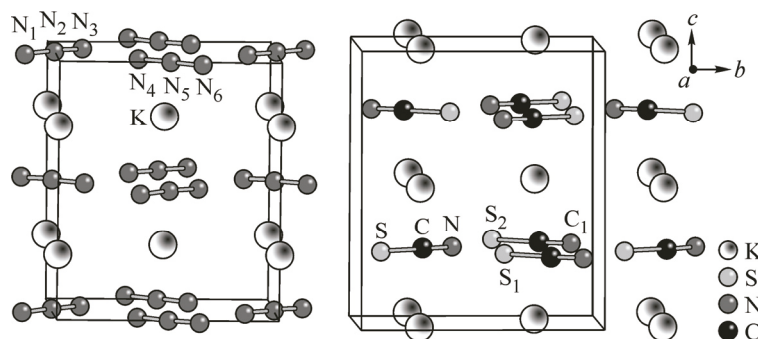


Рис. 1. Ячейки Браве кристаллов KN_3 , KSCN

$I4/mcm$, $Z = 2$). Увеличение числа частиц в элементарной ячейке KSCN по сравнению с KN_3 обусловлено понижением симметрии комплексного аниона $(\text{SCN})^-$ относительно аниона $(\text{N}_3)^-$. В обеих фазах KSCN ионы калия и тиоцианат-ионы, так же как и в KN_3 , формируют альтернативные параллельные слои, перпендикулярные направлению c в кристаллографической ячейке. При этом в высокотемпературной тетрагональной фазе ионы $(\text{SCN})^-$ ориентированы беспорядочно, так что атомы серы и азота занимают две равновероятные позиции. Низкотемпературную орторомбическую фазу можно представить как слегка искаженную тетрагональную с упорядоченным положением тиоцианат-ионов. Группа симметрии низкотемпературной фазы KSCN D_{2h}^{11} является подгруппой группы D_{4h}^{18} высокотемпературной фазы, однако не является ее максимальной неизоморфной подгруппой. Среди максимальных неизоморфных подгрупп группы D_{4h}^{18} имеется группа D_{2h}^{26} (*№ 72, Ibam*), а среди максимальных неизоморфных подгрупп группы D_{2h}^{26} имеется группа D_{2h}^{11} . В направлении повышения симметрии $D_{2h}^{11} \rightarrow D_{2h}^{26} \rightarrow D_{4h}^{18}$ каждая последующая группа является минимальной неизоморфной супергруппой предыдущей. Таким образом, фазовый переход типа порядок—беспорядок в KSCN между симметриями $D_{2h}^{11} \rightarrow D_{4h}^{18}$ происходит, минуя одну минимальную неизоморфную супергруппу D_{2h}^{26} .

Для понимания механизмов фазового перехода необходимо исследовать температурную зависимость структуры, пространственные и тепловые движения атомов по широкому спектру температур в обоих фазах. В [11] выполнен тонкий рентгеновский структурный анализ при нескольких температурах выше и ниже T_c — температуры перехода, особенно с точки зрения упорядочивания анионов $(\text{SCN})^-$ и теплового движения K^+ . Измерения проводились при температурах 288, 363, 388, 398 и 408 К в орторомбической фазе и 415, 417, 5, 424 и 435 К в тетрагональной. При более высоких температурах измерения не делались из-за низкой температуры плавления KSCN (445 К). Измерены температурные зависимости параметров решетки, а также термические параметры B_{11} , B_{22} , B_{33} , B_{12} , B_{13} и B_{23} . Природа перехода типа порядок—беспорядок подтверждена и выше, и ниже T_c . Тепловое движение ионов K^+ показывает высокую степень ангармонизма в $a-b$ плоскости элементарной ячейки, при этом смещение K^+ в орторомбиче-

Структурные характеристики KN_3 , KSCN (орторомбическая фаза)

Кристалл	Параметры кристаллической решетки, Å, δ, %	Координаты неэквивалентных атомов (в ед. a , b , c)	Межатомное расстояние, R , Å	Характерные углы, град.
KN_3 [1]	a 6,1188(6) c 7,1015(1)	K (0, 0, 0) $\text{N}_{1,3}$ (0,1360, 0,6360, 0,25) N_2 (0, 0, 0,25)	($\text{N}_{1,3}$ — N_2) 1,1763 (N_3 — N_4) 3,3628	$\text{N}_3\text{N}_2\text{N}_4$ 90,0
KN_3 B3LYP	a 6,1852 c 7,1512 δ_a 1,00 δ_c 0,70	K (0, 0, 0) $\text{N}_{1,3}$ (0,13645, 0,63645, 0,25) N_2 (0, 0, 0,25)	($\text{N}_{1,3}$ — N_2) 1,1935 (N_3 — N_4) 3,3967	$\text{N}_3\text{N}_2\text{N}_4$ 90,0
KSCN [11]	a 6,6910 b 6,6760 c 7,6060	K (0,7931, 0,25, 0) S (0,3963, 0,1078, 0,25) C (0,2306, 0,2881, 0,25) N (0,1113, 0,4162, 0,25)	(S — C) 1,6365 (C — N) 1,1698 (N — S1) 3,5342 (N — S2) 3,6292	NC1S2 85,305 S1NS2 138,145 C1S2N 67,989
KSCN B3LYP	a 6,7217 b 6,7028 c 7,5978 δ_a 0,46 δ_b 0,40 δ_c 0,11	K (0,78479, 0,25, 0) S (0,3968, 0,1074, 0,25) C (0,2257, 0,2869, 0,25) N (0,1049, 0,4139, 0,25)	(S — C) 1,6649 (C — N) 1,1768 (N — S1) 3,5909 (N — S2) 3,6136	NC1S2 85,340 S1NS2 137,811 C1S2N = 67,325

скую фазу коррелирует с параметром порядка $(SCN)^-$. Подтверждено, что фазовый переход объясняется взаимодействием ориентационных и трансляционных движений ионов. Хаотическое реориентационное движение $(SCN)^-$ наблюдается также вблизи T_c в экспериментах по комбинационному рассеянию. При комнатной температуре анионы $(SCN)^-$ выстроены в антипараллельном порядке аналогично антисегнетоэлектрической структуре.

В работе [13] сообщается о трех дополнительных фазовых переходах для KSCN в экспериментах при давлениях между атмосферным и 44 кбар. Эти фазовые переходы интерпретировались как различные стадии ориентационного разупорядочивания аниона $(SCN)^-$.

МЕТОД РАСЧЕТА

Расчеты структурных параметров, зонного спектра и карт распределения электронной плотности азода калия и низкотемпературной фазы тиоцианата калия проводились с использованием программного кода Crystal09 [14, 15]. В качестве основного приближения использовали теорию функционала плотности, в рамках которой применяли полноэлектронный подход в приближении ЛКАО. Во избежание сильного занижения ширины запрещенной зоны использовали гибридный обменно-корреляционный потенциал B3LYP, который дополнительно к обменному функционалу Becke [16], комбинированному с нелокальным корреляционным потенциалом LYP, включает обменную составляющую в рамках теории Хартри—Фока. В качестве базисных функций брались контрактированные гауссовые орбитали, для атомов K, N, S и C использовали базис TZVP [17]. Интегрирование в прямом пространстве проводили на радиальной сетке (75,434), включающей 75 радиальных точек и максимально 434 угловых точек в области химической связи. Для интегрирования по зоне Бриллюэна в обратном пространстве использовали сетку $8 \times 8 \times 8$, генерированную по методу Монкхорста—Пака.

На первом этапе проводили оптимизацию геометрии кристаллов KN_3 и KSCN, полученные структурные параметры в сравнении с экспериментом представлены в таблице. Отклонение по постоянным кристаллической решетки не превышает 1 % и максимально для постоянной решетки a в KN_3 .

ЗОННЫЕ СПЕКТРЫ KN_3 И KSCN

На рис. 2 представлены зоны Бриллюэна, зонные структуры и плотности состояний для обоих кристаллов. Зонную структуру вычисляли вдоль линий $M-\Gamma-X-P-N$ для KN_3 и $Z-\Gamma-Y-S-R-U-X-\Gamma$ для KSCN. Из-за различной симметрии кристаллической решетки в элементарной ячейке в тиоцианате калия содержится четыре формульные единицы, а не две, как в азиде калия, что приводит к тому, что число зон в KSCN в 2 раза больше, чем в KN_3 .

Полученные зонные спектры для азода калия хорошо согласуются с результатами, приведенными в работах [2, 3]. Занятые энергетические зоны, расположенные в интервале от -40 до -5 эВ в обоих кристаллах, можно разделить на семь связок. В обоих случаях четыре нижние связки из приведенных являются узкими и малодисперсными. В KN_3 первые три связки состоят из двух, четвертая из шести зон; первая и четвертая образованы остовными $3s$ - и $3p$ -состояниями калия соответственно, вторая и третья — валентными s - с небольшим участием p -состояний N_3^- . Подобная ситуация наблюдается и в KSCN, при этом число зон в каждой связке больше в 2 раза. Различия наблюдаются в ширинах зонных щелей, разделяющих связки зон, а также в составе АО, формирующих вторую и третью связку: если в KN_3 в формировании каждой участвуют функции всего аниона, то в KSCN в третьей связке перевес приходится на s -состояния углерода и азота, а в четвертой — на s -состояния серы.

Некоторые различия для рассматриваемых кристаллов наблюдаются и в составе трех верхних связок зон. Общая их ширина в KN_3 равна 7,40, в KSCN 6,61 эВ. Как и в работах [2, 3], в азиде калия они образованы шестью, двумя и четырьмя зонами соответственно. В формировании кристаллических орбиталей (КО) этих связок в основном участвуют s,p -состояния атомов азота. Шестая связка образована в основном $2s$ -состояниями концевых атомов азидной группы. В верхней валентной зоне (ВВЗ) (седьмая связка) наблюдается небольшая примесь $3p$ -

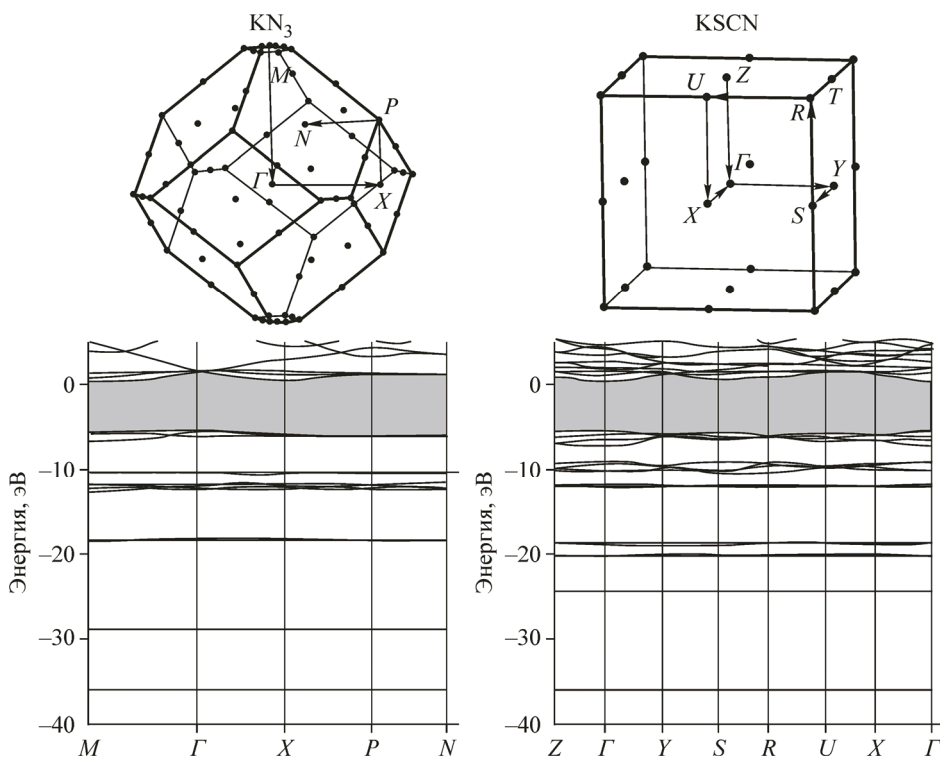


Рис. 2. Зоны Бриллюэна и зонные структуры для кристаллов KN_3 , KSCN

состояний калия. Первая свободная зона образована s -состояниями калия с небольшим участком p -состояний азота. Как и в работе [2], кристалл получился непрямозонным. Вершина валентной зоны реализуется в точке M , конкурирующая с ней точка Γ , дно зоны проводимости находится в точке M . Разница $E_g(M-M) - E_g(\Gamma-M) = 0,13$ эВ. Ширина запрещенной зоны равна 5,66 эВ, что ниже экспериментального значения 8,55 эВ, приведенного в [2].

В тиоцианате калия пятая связка состоит из четырех зон и образована в основном s -состояниями серы. В шестой и седьмой связках ВВЗ более определенно прослеживается зависимость энергий КО от волнового вектора, чем в KN_3 . Ширина шестой связки зон максимальна вдоль линий $Z-\Gamma$, $S-R$ и составляет $\sim 1,22$ эВ, минимальна в точке U . Эту связку образуют 12 зон, в состав кристаллических орбиталей которых входят в основном p -функции N и C. ВВЗ шириной 1,71 эВ образуют p -состояния серы, вкладов состояний калия практически не прослеживается. Эта связка включает в себя 8 зон. Дно зоны проводимости образовано s -состояниями всех атомов, входящих в KSCN .

Вершина валентной зоны реализуется в точке Γ , с ней конкурирует точка Z , дно зоны проводимости располагается в точке Γ , так что кристалл является прямозонным. Ширина запрещенной зоны равна 5,47 эВ, разница $E_g(Z-\Gamma) - E_g(\Gamma-\Gamma) = 0,03$ эВ.

ХИМИЧЕСКАЯ СВЯЗЬ В KN_3 И KSCN

На рис. 3 представлено распределение полной и деформационной плотностей в комплексном анионе. И если в азид-ионе распределение плотности симметрично относительно центрального атома азота, то в тиоцианат-ионе обращает на себя внимание выделение связи C—N. В N_3^- деформационная плотность положительна на линии связи по обе стороны от центрально-го азота и за концевыми $\text{N}_{1,3}$, ее максимумы приходятся непосредственно на атомы аниона, так что на них происходит "натекание" электронной плотности и заряд на них отрицателен. Заряд при этом "уходит" с внутренней стороны $\text{N}_{1,3}$ и с линии, перпендикулярной связи N—N—N и проходящей через N_2 .

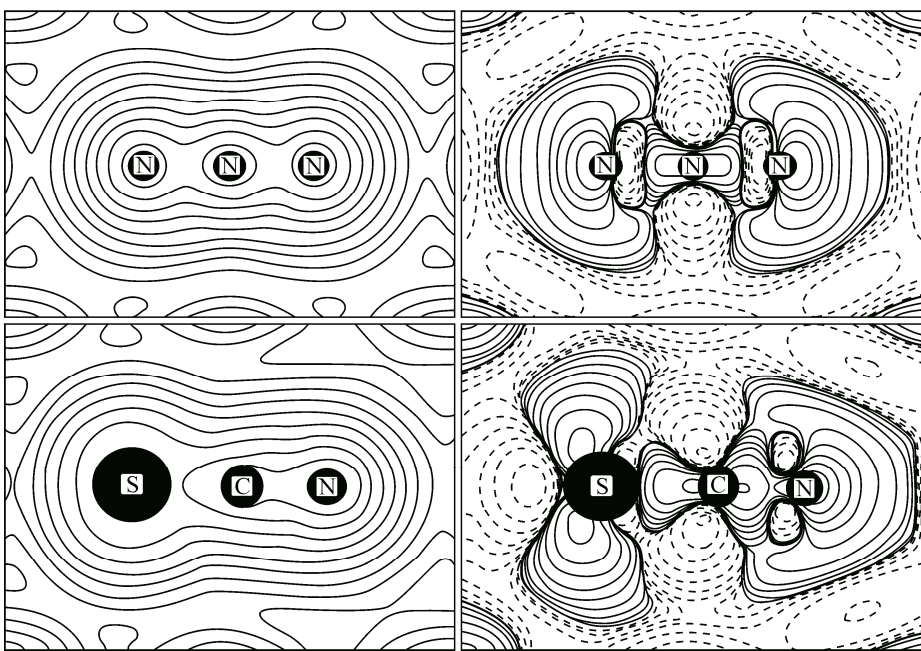


Рис. 3. Распределение кристаллической и деформационной плотностей в комплексном анионе

$\text{B}(\text{SCN})^-$ максимумы деформационной плотности образуются в непосредственной близости от атомов на самой связи $\text{C}-\text{N}$ величиной $0,125 \text{ e}/\text{bohr}^3$, а также на связи $\text{C}-\text{S}$ величиной $0,063 \text{ e}/\text{bohr}^3$ ближе к атому углерода. Происходит также такое перераспределение электронной плотности, при котором, как и в азид-ионе, заряд натекает по линии связи за атом азота с максимумом на самом атоме. Дополнительные максимумы величиной $0,016 \text{ e}/\text{bohr}^3$ в форме π -орбиталей образуются по обе стороны от атома серы.

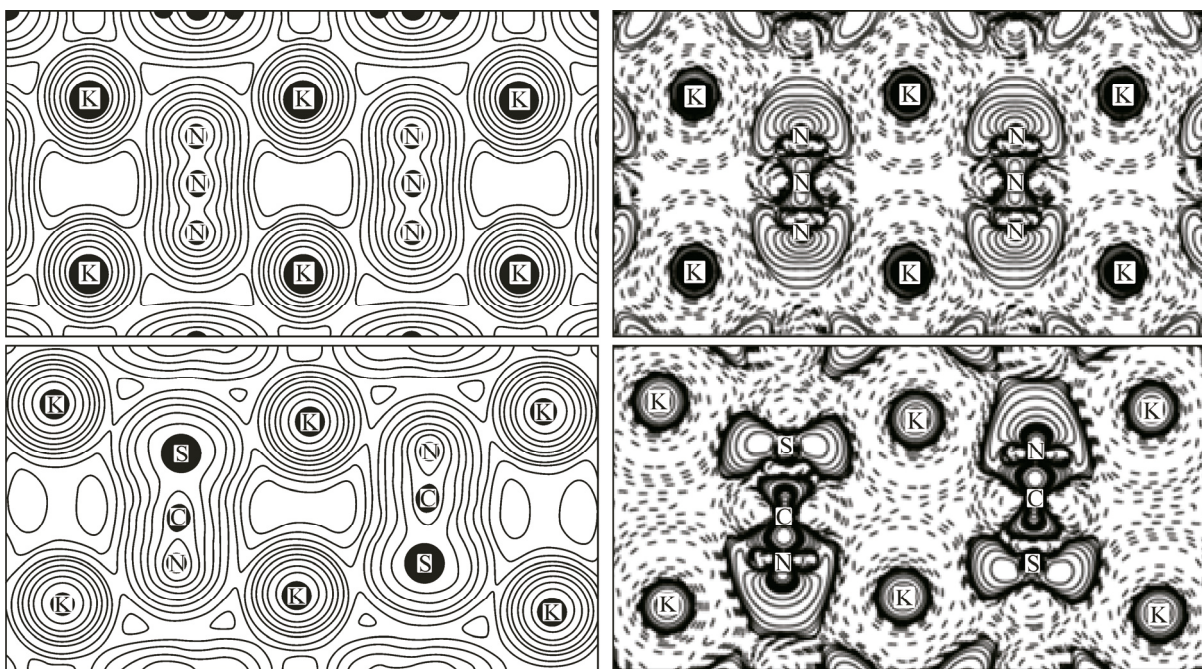


Рис. 4. Распределение кристаллической и деформационной плотностей в плоскости $(1\bar{1}0)$ для KN_3 (вверху) и KSCN (внизу)

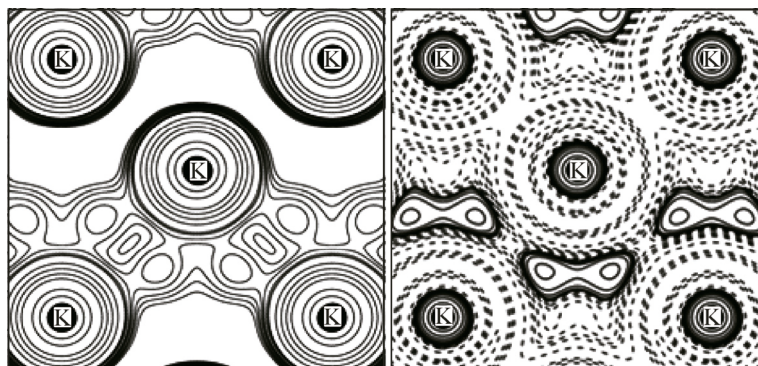


Рис. 5. Распределение кристаллической и деформационной плотностей в катионной плоскости

Механизм образования максимумов за линией связи можно понять из рис. 4: заряд уходит от калия и "натекает" в области концевых атомов аниона. При этом не образуется никаких локальных максимумов заряда между анионами, однако обращает на себя внимание наличие общих контуров электронной плотности между металлом и анионом при значениях $\sim 0002 \text{ e}/\text{bohr}^3$.

В катионной плоскости KN_3 распределение электронной плотности носит сферически-симметричный характер, с максимумами электронной плотности на атомах калия. Интересными оказываются карты электронной плотности в плоскости металла в KSCN , представленные на рис. 5. Здесь выявляется зигзагообразная структура с максимумами — "изломами" на атомах калия. Непосредственно по центру линии, соединяющей атомы калия, наблюдается минимум электронной плотности (величиной $0,001 \text{ e}/\text{bohr}^3$), по обе стороны от которого располагаются максимумы ($0,003 \text{ e}/\text{bohr}^3$). Это является признаком появления слабого ковалентного связывания между атомами калия в плоскости металла.

ЗАКЛЮЧЕНИЕ

Выполненные из первых принципов расчеты электронного строения кристаллов KN_3 и KSCN позволили установить особенности зонной структуры и образования химической связи, обусловленные кристаллической структурой и химическим составом. Различия в физико-химических свойствах этих кристаллов связаны с особенностями химической связи внутри комплексных анионов и связью между анионом и металлом.

Работа выполнена при поддержке госзадания № 3.1235.2014К.

СПИСОК ЛИТЕРАТУРЫ

1. Stevens E.D. // Acta Crystallogr. A. – 1977. – **33**, N 4. – P. 580.
2. Gordienko A.B., Zhuravlev Yu.N., Poplavnoi A.S. // Phys. Stat. Sol. B. – 1996. – **198**, N 2. – P. 707.
3. Zhu W., Xiao J., Xiao H. // J. Phys. Chem. B. – 2006. – **110**, N 20. – P. 9856.
4. Babu K.R., Vaitheswaran G. // Solid State Sciences. – 2013. – **23**. – P. 17.
5. Britton D., Dunitz J.D. // Acta Crystallogr. – 1965. – **19**, N 4. – P. 662.
6. Iqbal Z., Yoffe A.D. // Proc. R. Soc. Lond. A. – 1967. – **302**, N 1468. – P. 35.
7. Collins P.H., Holloway K.J. // Propellants and Explosives. – 1978. – **3**, N 6. – P. 159.
8. Britton D. // Acta Crystallogr. C. – 1991. – **47**, N 12. – P. 2646.
9. Nambu H., Ichikawa M., Gustafsson T., Olovsson I. // J. Phys. Chem. Sol. – 2003. – **64**, N 11. – P. 2269.
10. Reckeweg O., Schulz A., Leonard B., DiSalvo F.J. // Z. Naturforsch. B. – 2010. – **65**, N 4. – S. 528.
11. Yamamoto S., Sakuno M., Shimaka Y. // J. Phys. Sos. Jpn. – 1987. – **56**, N 12. – P. 4393.
12. Cookson D.J., Elcombe M.M., Finlayson T.R. // J. Phys. Condens. Matter. – 1992. – **4**, N 39. – P. 7851.
13. Pistorius C.W.F.T., Clark J.B., Rapoport E. // J. Chem. Phys. – 1968. – **48**, N 11. – P. 5123.
14. CRYSTAL14 User's Manual / Dovesi R., Saunders V.R., Roetti C., Orlando R. et al. – Torino: University of Torino, 2009.
15. Dovesi R., Orlando R., Civalleri B., Roetti C., Saunders V.R., Zicovich-Wilson C.M. // Zeit. Kristallogr. – 2005. – **220**, N 5-6. – P. 571.
16. Becke A.D. // J. Chem. Phys. – 1993. – **98**, N 7. – P. 5648.
17. Peintinger M.F., Oliveira D.V., Bredow T. // J. Comput. Chem. – 2013. – **34**, N 6. – P. 451.